Interazioni Elettrodeboli

prof. Francesco Ragusa Università di Milano

Lezione n. 13

11,11,2025

Teoria di Fermi del decadimento β Studi sperimentali
Distribuzione dell'energia
Correlazioni angolari
Misura della vita media

anno accademico 2025-2026

Lo spazio delle fasi

• L'elemento di matrice che abbiamo trovato dipende, oltre che dalle energie, anche dall'angolo fra il neutrino e l'elettrone

$$\overline{\left|\overline{\mathfrak{M}_{F}}\right|^{2}} = 16m_{N}^{2}E_{e}E_{\nu}G^{2}\left[C_{S}^{2}\left(1 - \beta_{e} \cdot \beta_{\nu}\right) + C_{V}^{2}\left(1 + \beta_{e} \cdot \beta_{\nu}\right) + 2C_{S}C_{V}\frac{m_{e}}{E_{e}}\right]$$

- Vedremo che la distribuzione di $heta_{e
 u}$ contiene importanti informazioni
- È pertanto necessario sviluppare lo spazio delle fasi senza integrare sugli angoli
- Riprendiamo pertanto il calcolo a partire dall'integrazione del momento del protone in poi (vedi diapositiva 312)

$$d\Phi = \frac{(2\pi)^4}{(2\pi)^9} \frac{\mathbf{k}^2 dk d\Omega_e}{2E_e} \frac{\mathbf{k}'^2 dk' d\Omega_{\nu}}{2E_{\nu}} \frac{1}{2E_n} \delta(m_n - E_e - E_{\nu} - \sqrt{\mathbf{k}^2 + \mathbf{k}'^2 + 2kk' \cos\theta_{e\nu} + m_p^2})$$

• Adesso vogliamo integrare sull'energia del neutrino e poniamo $x=E_{
u}=|{f k}'|$

$$f(x) = m_n - E_e - x - \sqrt{\mathbf{k}^2 + x^2 + 2kx \cos \theta_{e\nu} + m_p^2} = E_p$$
 $\approx m_p$

Trascurando l'energia cinetica del protone –

$$f(x) \approx m_n - m_p - E_e - x = x_0 - x$$
 $x_0 \approx m_n - m_p - E_e$ $\left| f'(x_0) \right| = 1$
$$\delta(f(x)) = \delta(x_0 - x)$$

Lo spazio delle fasi

• Con questa approssimazione abbiamo (ricordiamo $|{f k}'|=E_{
u}$ e $p_e\equiv |{f k}|$)

$$d\Phi = \frac{(2\pi)^4}{(2\pi)^9} \frac{p_e^2 dp_e d\Omega_e}{2E_e} \frac{E_\nu^2 dE_\nu d\Omega_\nu}{2E_\nu} \frac{1}{2E_p} \delta(E_\nu - \bar{E}_\nu) \qquad \bar{E}_\nu = m_n - m_p - E_e$$

$$m_n - m_p = \Delta m$$

ullet Possiamo a questo punto integrare su $E_
u$

$$d\Phi = \frac{1}{\left(2\pi\right)^5} \frac{p_e^2 dp_e d\Omega_{\rm e}}{8E_e E_p} \overline{E}_{\nu} d\Omega_{\nu}$$

Inoltre utilizziamo la consueta relazione

$$p_e^2 = E_e^2 - m_e^2 \to p_e dp_e = E_e dE_e$$

• Ancora una volta trascuriamo l'energia cinetica del protone $E_ppprox m_p\!\!pprox m_N$

$$d\Phi = \frac{1}{(2\pi)^5} \frac{E_{\nu} p_e}{8m_N} dE_e d\Omega_e d\Omega_{\nu}$$

- Per semplicità abbiamo sostituito $\,\overline{E}_{\nu}\,=E_{\nu}\,=m_{n}\,-m_{p}\,-E_{e}\,$
- A questo punto abbiamo tutti gli ingredienti per il calcolo della larghezza di decadimento

La larghezza di decadimento

In definitiva abbiamo per la larghezza delle transizioni di Fermi

$$d\Gamma_F = \frac{1}{2m_n} \overline{\left|\mathfrak{M}_F\right|^2} d\Phi$$

$$d\Gamma_{F} = \frac{1}{2m_{N}} 16m_{N}^{2} E_{e} E_{\nu} G^{2} \left[C_{S}^{2} \left(1 - \beta_{e} \cdot \beta_{\nu} \right) + C_{V}^{2} \left(1 + \beta_{e} \cdot \beta_{\nu} \right) + 2C_{S} C_{V} \frac{m_{e}}{E_{e}} \right] \frac{1}{(2\pi)^{5}} \frac{E_{\nu} p_{e}}{8m_{N}} dE_{e} d\Omega_{e} d\Omega_{\nu} d\Omega_{\nu}$$

$$d\Gamma_F = G^2 \frac{\left(C_S^2 + C_V^2\right)}{\left(2\pi\right)^5} p_e E_e E_\nu^2 \left[1 + a_F \beta_e \cdot \beta_\nu + \kappa_F \frac{m_e}{E_e}\right] dE_e d\Omega_e d\Omega_\nu$$

• Dove
$$E_{
u}=\Delta m-E_e$$
 $a_F=rac{C_V^2-C_S^2}{C_S^2+C_V^2}$ $\kappa_F=rac{2C_SC_V}{C_S^2+C_V^2}$

· Analogamente per la larghezza delle transizioni Gamov-Teller

$$d\Gamma_{GT} = G^{2} \frac{3(C_{A}^{2} + C_{T}^{2})}{(2\pi)^{5}} p_{e} E_{e} E_{\nu}^{2} \left[1 + a_{GT} \beta_{e} \cdot \beta_{\nu} - \kappa_{GT} \frac{m_{e}}{E_{e}} \right] dE_{e} d\Omega_{e} d\Omega_{\nu}$$

Dove

$$a_{GT} = -\frac{1}{3} \frac{C_A^2 - 4C_T^2}{C_A^2 + 4C_T^2} \qquad \kappa_{GT} = 4 \frac{2C_A C_T}{C_A^2 + C_T^2}$$

- Cominciamo con lo studio della distribuzione dell'energia dell'elettrone
 - Ricordiamo che l'elemento di matrice dipende da termini che contengono

$$\boldsymbol{\beta}_{e} \cdot \boldsymbol{\beta}_{\nu} = \beta_{e} \beta_{\nu} \cos \theta_{e\nu} = \beta_{e} \cos \theta_{e\nu}$$

• Lo spazio delle fasi dipende dalle direzioni $d\Omega_e$ e $d\Omega_{
u}$ dei momenti dell'elettrone e del neutrino



• Possiamo integrare su $d\Omega_e o 4\pi$



$$\int_{-1}^{+1} \cos \theta_{\nu} d \cos \theta_{\nu} = 0$$

- Per i termini dell'elemento di matrice che non dipendono dagli angoli gli integrali sui due angoli solidi equivalgono a moltiplicare per $16\pi^2$
- In definitiva, per una transizione di Fermi

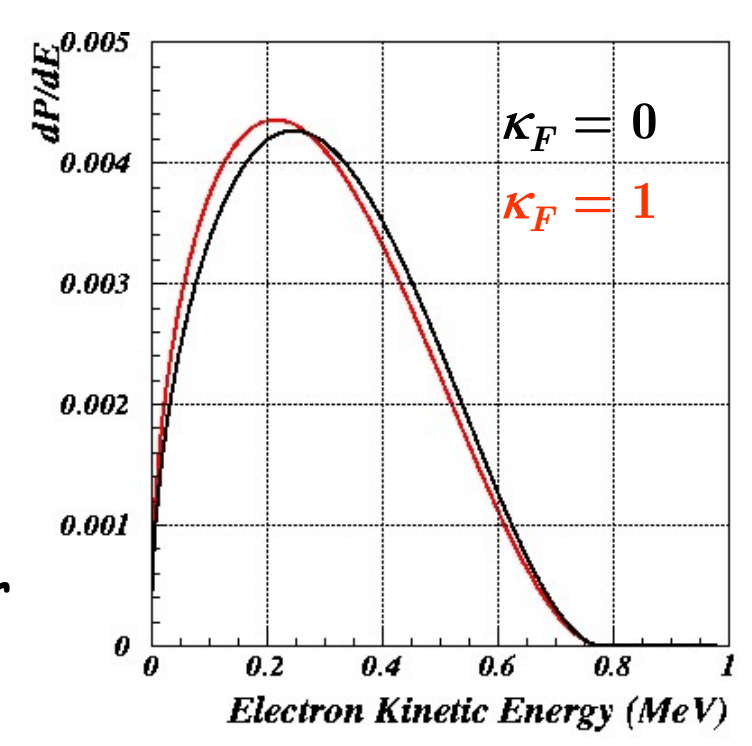
$$\frac{d\Gamma_F}{dE_e} = 4G^2 \frac{\left(C_S^2 + C_V^2\right)}{(2\pi)^3} p_e E_e \left(\Delta m - E_e\right)^2 \left[1 + \kappa_F \frac{m_e}{E_e}\right]$$

• Ricordiamo che abbiamo usato l'approssimazione $~E_{
u}pprox {f \Delta}m-E_{e}$

• Le prime informazioni sulla struttura della interazione debole nel decadimento β sono state ottenute studiando lo spettro della energia

$$\frac{d\Gamma_F}{dE_e} = 4G^2 \frac{\left(C_S^2 + C_V^2\right)}{(2\pi)^3} p_e E_e \left(\Delta m - E_e\right)^2 \left[1 + \kappa_F \frac{m_e}{E_e}\right]$$

- Il termine con coefficiente κ_F è un termine di interferenza è noto come Termine di interferenza di Fierz
 - ullet NB: il valore minimo di E_e è m_e
- Dallo studio della forma dello spettro si può verificare l'esistenza o meno del termine di interferenza
 - I risultati sperimentali mostrano che questo termine è assente $(\kappa=0)$
 - Sia per le Transizioni di Fermi
 - Sia per le Transizioni di Gamov-Teller



- L'assenza del termine di interferenza di Fierz ha delle conseguenze importanti
 - Ricordiamo la forma dei coefficienti dei termini di interferenza

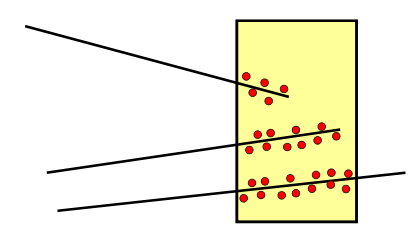
$$\kappa_F = \frac{2C_S C_V}{C_S^2 + C_V^2} \qquad \kappa_{GT} = 4 \frac{2C_A C_T}{C_A^2 + C_T^2}$$

• La condizione $\kappa_{F,GT}=0$ implica che solo uno dei due accoppiamenti può essere presente

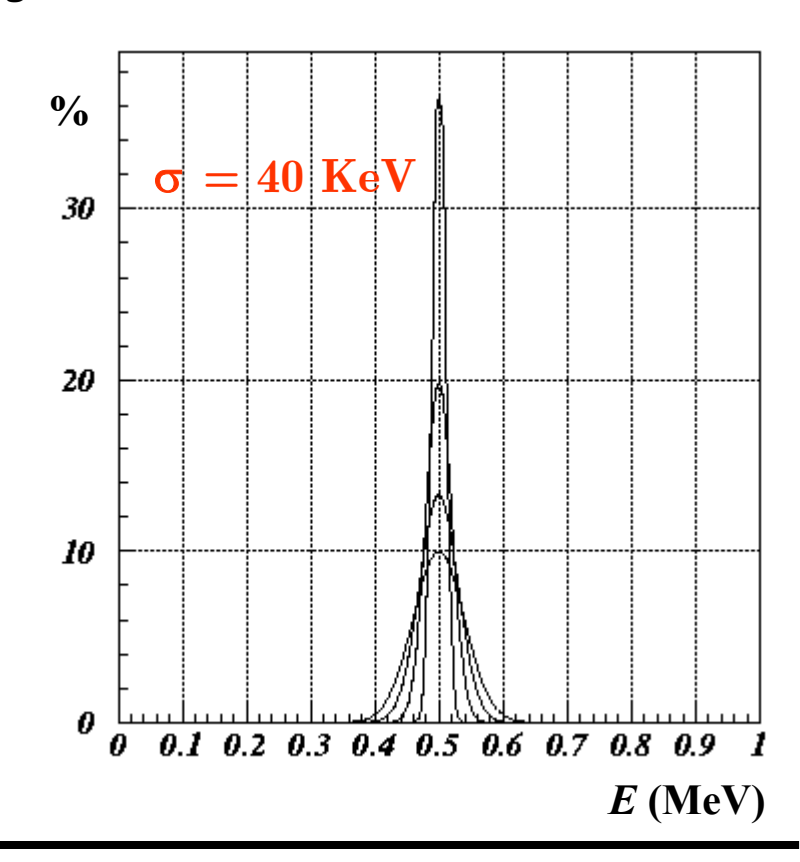
$$C_S C_V = 0 \qquad C_A C_T = 0$$

- Pertanto dei 4 possibili tipi di interazione solo 2 dovevano essere presenti con le seguenti possibilità:
 - Scalare Assiale
 - Scalare Tensoriale
 - Vettoriale Assiale
 - Vettoriale Tensoriale

- Da un punto di vista sperimentale è interessante studiare i requisiti di risoluzione e di precisione statistica per stabilire l'assenza o meno dei termini di interferenza
 - Ovviamente, per misurare lo spettro di energia, abbiamo bisogno di un rivelatore che misuri l'energia di ogni singolo elettrone che lo attraversa

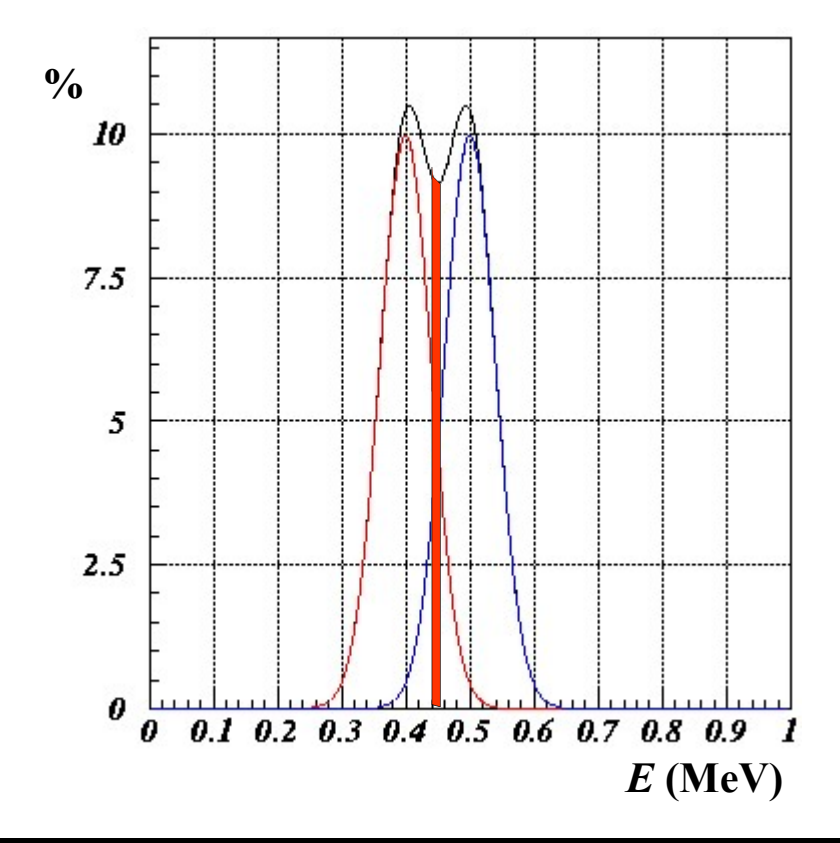


- Una prima caratteristica importante è la necessità di assorbire tutta l'energia
- Ma la caratteristica più importante è sicuramente la risoluzione
 - Supponiamo di avere un elettrone di 500 KeV e di variare la risoluzione del rivelatore



- Supponiamo di avere un elettrone di 400 KeV e una risoluzione di 40 KeV
- L'area della zona rossa dà la probabilità, energia nell'intervallo dato
- data l'energia di $400~{
 m KeV}$, di misurare una
- **%** 10 7.5 5 2.5 0.1 0.2 0.3 0.4 0.5 0.6 0.7 0.8 0.9 1

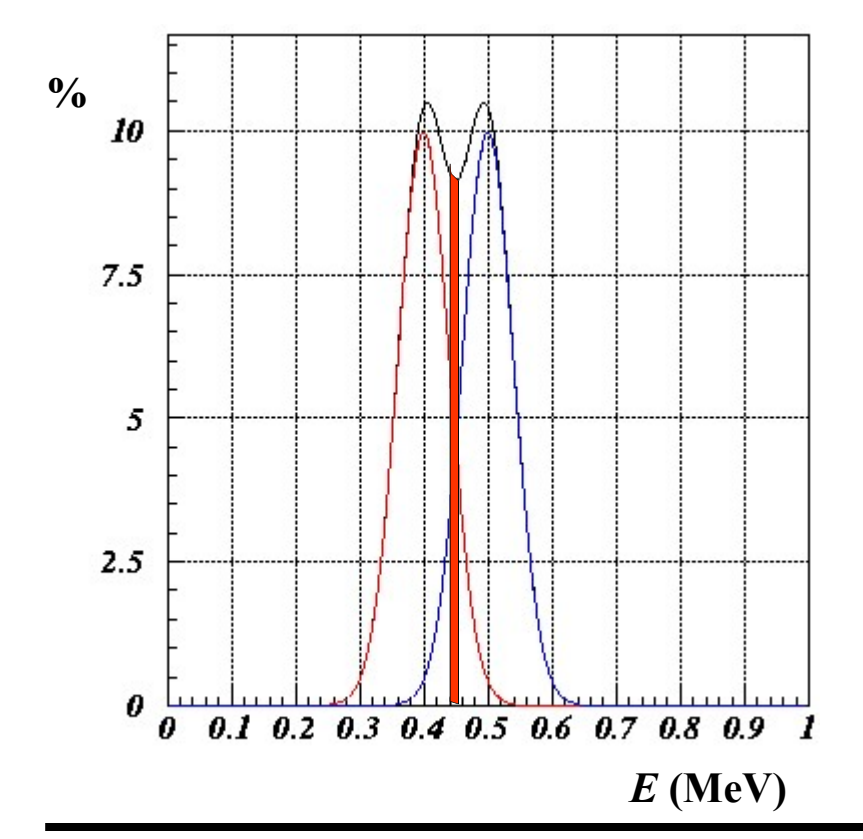
- Se misuriamo contemporaneamente elettroni di 400 KeV e di 500 KeV
 - Ancora l'area rossa ...
 - L'area rossa è la somma dell'area delle due "fette" delle gaussiane



E (MeV)

- L'area rossa, posizionata a E, è data da $P\left(E\right) pprox G(E-E_1)\Delta E + G(E-E_2)\Delta E$
- Se le due gaussiane non avessero aree uguali f_1 e f_2

$$P(E) \approx f_1 G(E - E_1) \Delta E + f_2 G(E - E_2) \Delta E$$



• Se le gaussiane fossero tante e ciascuna con peso f_i

$$P(E) \approx \sum_{i} f_{i}G(E - E_{i})\Delta E$$

- Possiamo interpretare f_i come il contributo al bin i_{esimo} di una distribuzione arbitraria di energia f(E)
 - Il rivelatore misura l'energia distribuita con f(E) che cade in bin diversi per la risoluzione descritta dalla gaussiana
- Il contributo al bin viene pertanto disperso nei vari bin adiacenti seguendo la legge gaussiana
- Passando al limite $\Delta E
 ightarrow dE$

$$P(E) = \int f(x)G(E - x)dx$$

 La distribuzione risultante è la convoluzione della distribuzione originale con una gaussiana la cui deviazione standard è determinata dalla risoluzione del rivelatore

• Esercizi

- 1. Scrivere un programma per disegnare il grafico dello spettro dell'energia per diversi valori del parametro κ
- 2. Scrivere un programma per disegnare il grafico dello spettro dell'energia per $\kappa=0$ e $\kappa=1$ includendo l'effetto della risoluzione di un rivelatore variando la risoluzione da $10~{\rm KeV}$ a $100~{\rm KeV}$
- 3. Scrivere un programma che generi numeri a caso secondo la distribuzione del punto 1 (oppure utilizzare il generatore MC del decadimento β)
- 4. Introdurre nel programma precedente l'effetto della risoluzione sommando un ulteriore numero a caso distribuito secondo una gaussiana di media nulla e deviazione standard pari all'errore
- 5. Scrivere un programma che faccia un fit della distribuzione ottenuta nel punto 4 con la funzione teorica ottenuta al punto 2. Si considerino parametri del fit il numero degli eventi generati e il valore del parametro κ
- 6. Determinare un grafico dell'errore sul parametro κ in funzione della risoluzione per 4 diversi valori del numero degli eventi
- 7. Ripetere gli studi precedenti per diversi valori del parametro κ
- 8. Finalmente, stabilire i criteri per una misura di κ che permetta di stabilire se κ è nullo

- Richiamiamo le espressioni delle larghezze di Fermi e Gamov-Teller
 - Includiamo il risultato sperimentale C_S $C_V=$ C_A $C_T=$ 0 ($\kappa_F=$ $\kappa_{GT}=$ 0)

$$d\Gamma_{F} = G^{2} \frac{\left(C_{S}^{2} + C_{V}^{2}\right)}{(2\pi)^{5}} p_{e} E_{e} E_{\nu}^{2} \left[1 + a_{F} \beta_{e} \cdot \beta_{\nu}\right] dE_{e} d\Omega_{e} d\Omega_{\nu}$$

$$d\Gamma_{GT} = G^{2} \frac{3\left(C_{A}^{2} + C_{T}^{2}\right)}{(2\pi)^{5}} p_{e} E_{e} E_{\nu}^{2} \left[1 + a_{GT} \beta_{e} \cdot \beta_{\nu}\right] dE_{e} d\Omega_{e} d\Omega_{\nu}$$

- Cominciamo con l'elemento di matrice delle transizioni di Fermi
 - Poiché $|eta_{
 u}|=1$, esprimendo il prodotto scalare in funzione dell'angolo fra l'elettrone e il neutrino, integrando su $d\Omega_e$, otteniamo (A costante)

$$\frac{d\Gamma_F}{dE_e d\Omega_{\nu}} = A[1 + a_F \ \beta_e \cos(\theta_{e\nu})] \ a_F = \frac{C_V^2 - C_S^2}{C_S^2 + C_V^2}$$

- Pertanto se $a_F>0$ ($C_S=0$)
 - La distribuzione ha un massimo se elettrone e neutrino tendono a essere collineari $ightarrow \cos heta_{e
 u} = 1$
- ullet Se invece $a_{\scriptscriptstyle F} < 0$ ($C_{\scriptscriptstyle V} = 0$)
 - La distribuzione ha un massimo se elettrone e neutrino tendono ad andare in direzione opposta $ightarrow \cos heta_{e
 u} = -1$



Vettoriale

$$\cos \theta_{ev} = -1$$
Scalare

· Analogamente la larghezza di Gamov Teller

$$\overline{\left|\mathfrak{M}_{GT}\right|^{2}} = 16m_{N}^{2}E_{e}E_{\nu}3G^{2}\left(C_{A}^{2} + 4C_{T}^{2}\right)\left[1 + a_{GT}\beta_{e} \cdot \beta_{\nu}\right]$$

• Conduce alla distribuzione angolare

$$\frac{d\Gamma_{GT}}{dE_e d\Omega_{\nu}} = B[1 + a_{GT} \ \beta_e \cos(\theta_{e\nu})] \ a_{GT} = -\frac{1}{3} \frac{C_A^2 - 4C_T^2}{C_A^2 + 4C_T^2}$$

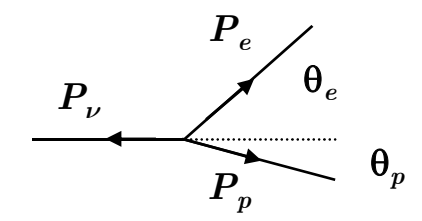
- Il massimo della distribuzione si ha per ...
- Ovviamente il neutrino non può essere rivelato
 - Si possono però misurare l'energia e/o la direzione del nucleo che rincula e utilizzare la conservazione della quantità di moto
 - Ci sono 5 variabili ($P_e,\,P_\nu,\,P_p,\,\theta_e,\,\theta_p$) e 3 equazioni
 - In un esperimento ideale:
 - Si determinano due grandezze misurabili
 - Si ricava θ_{ev}
 - Si costruisce la distribuzione di $\cos \theta_{e
 u}$ e si misura a_{GT} (o a_{F})

$a_{GT}>0 ightarrow extsf{Tensoriale}$

$$\cos \theta_{e\nu} = 1$$

$$a_{GT} < 0
ightarrow extstyle extstyle extstyle extstyle Assiale$$

$$\cos \theta_{e
u} = -1$$



$$P_{\nu} = P_e \cos \theta_e + P_p \cos \theta_p$$

$$P_e \sin \theta_e = P_p \sin \theta_p$$

$$m_n - m_p = P_{\nu} + T_p + E_e$$

Esperimento di Allen et al
Per potere misurare l'energia di rinculo si deve studiare il decadimento nel

vuoto

• Il gas radioattivo, prodotto con un ciclotrone

Es.: $n + {}^{9}\mathrm{Be} \to {}^{6}\mathrm{He} + {}^{4}\alpha$ viene immesso dal condotto A

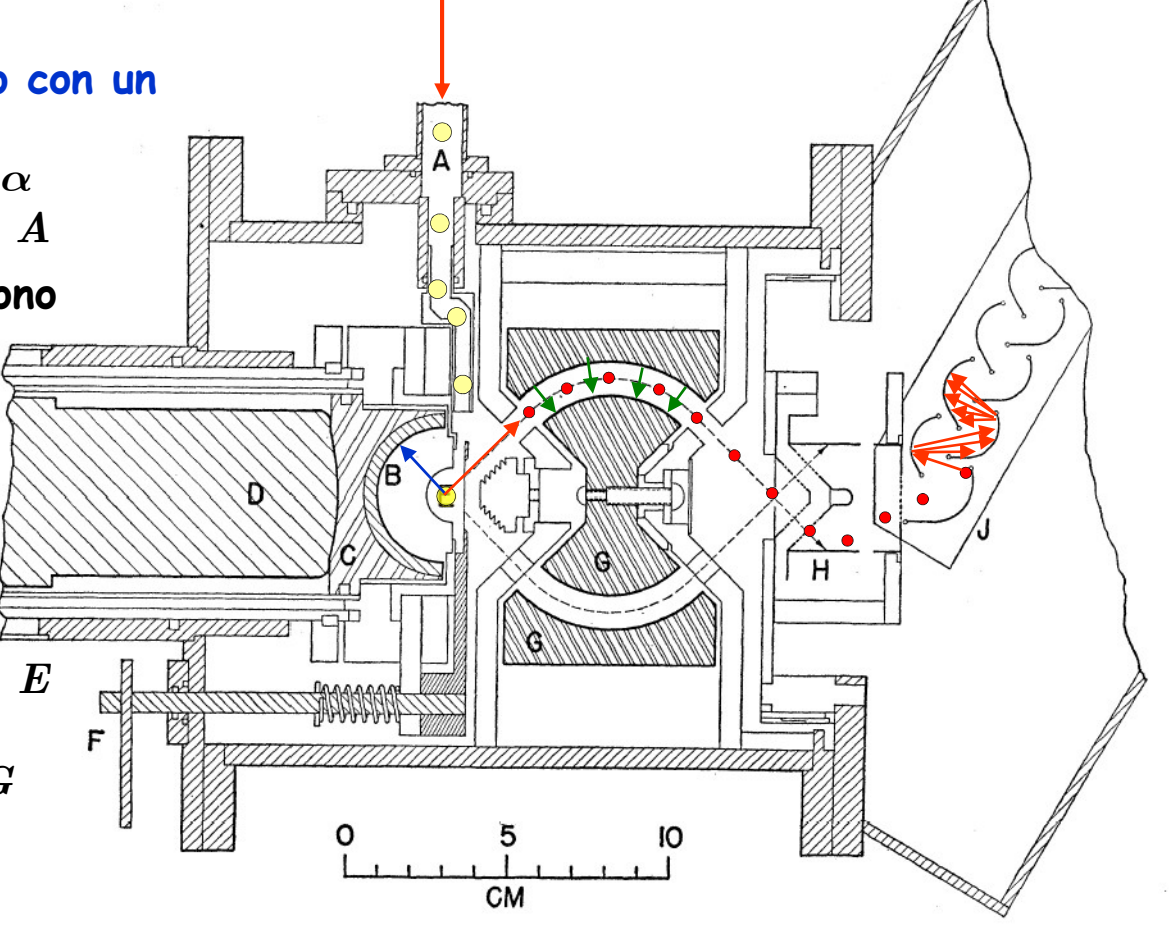
• I nuclei radioattivi diffondono nell'apparato.

ullet I decadimenti utili sono quelli che avvengono nella zona E

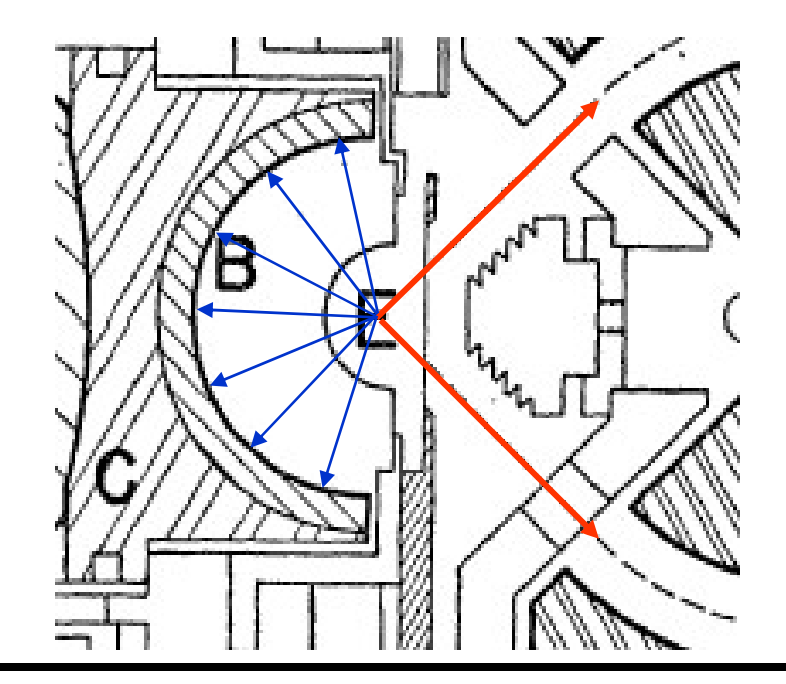
• Gli elettroni sono rivelati in ${\cal B}$

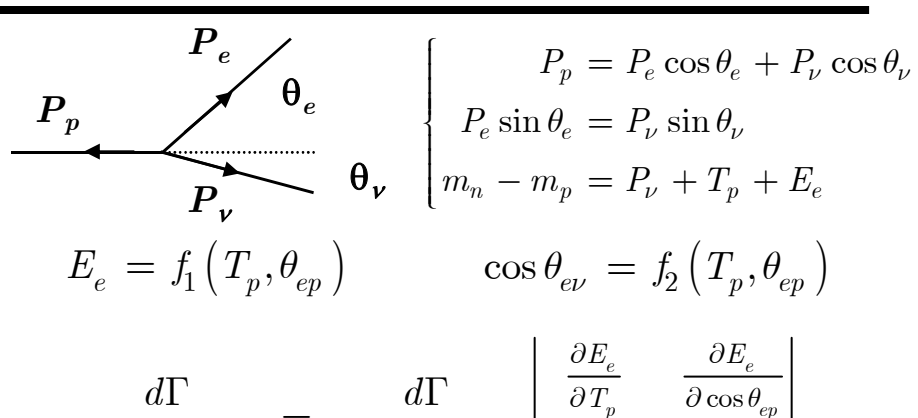
• Tramite un campo elettrico E i nuclei (ioni) vengono selezionati in energia con G

• Vengono rivelati in H-J



- Si misura la distribuzione dell'energia cinetica del nucleo
- Ci sono solo due direzioni del rinculo che entrano nello spettrometro
 - Consideriamone una per fissare le idee
- Gli eventi selezionati sono quelli in cui l'angolo fra nucleo ed elettrone varia da θ_{min} a θ_{max}



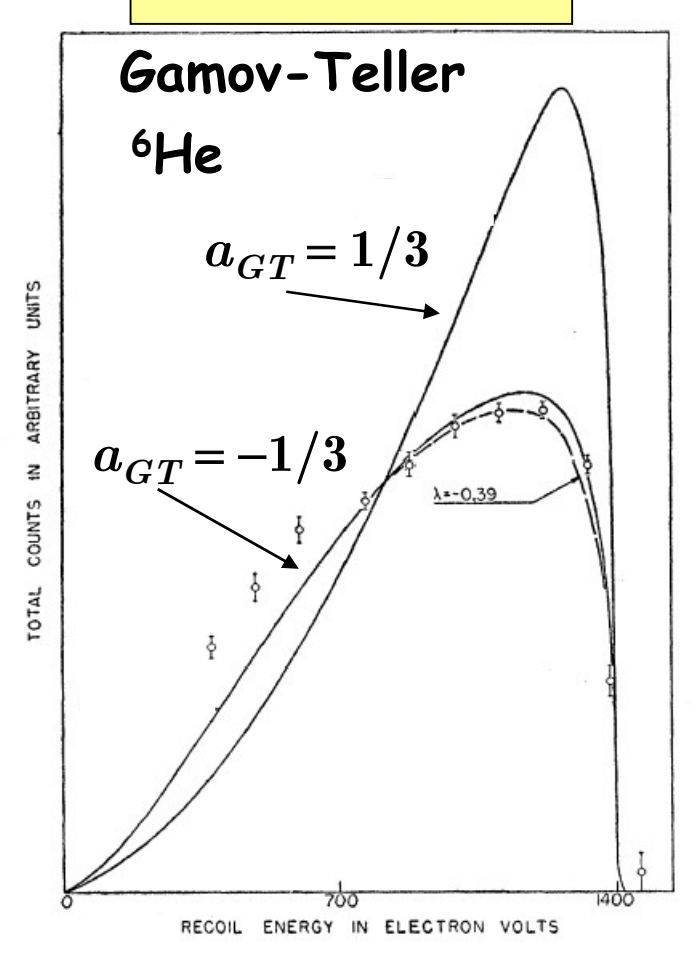


$$\begin{split} \frac{d\Gamma}{dT_{p}d\cos\theta_{ep}} &= \frac{d\Gamma}{dE_{e}d\cos\theta_{e\nu}} \begin{vmatrix} \frac{\partial E_{e}}{\partial T_{p}} & \frac{\partial E_{e}}{\partial\cos\theta_{ep}} \\ \frac{\partial\cos\theta_{e\nu}}{\partial T_{p}} & \frac{\partial\cos\theta_{e\nu}}{\partial\cos\theta_{ep}} \end{vmatrix} \\ &= \frac{d\Gamma}{dT_{p}d\cos\theta_{ep}} = g(T_{p},\cos\theta_{ep}) \\ &= \frac{d\Gamma}{dT_{p}} = \int_{\theta_{ep\,\text{min}}}^{\theta_{ep\,\text{max}}} \frac{d\Gamma}{dT_{p}d\cos\theta_{ep}} d\cos\theta_{ep} \\ &= \frac{d\Gamma}{dT_{p}} = \int_{\theta_{ep\,\text{min}}}^{\theta_{ep\,\text{max}}} g(T_{p},\cos\theta_{ep}) d\cos\theta_{ep} \end{split}$$

- La distribuzione di energia del nucleo non si può ottenere analiticamente.
 - Occorre un calcolo numerico o una simulazione Montecarlo

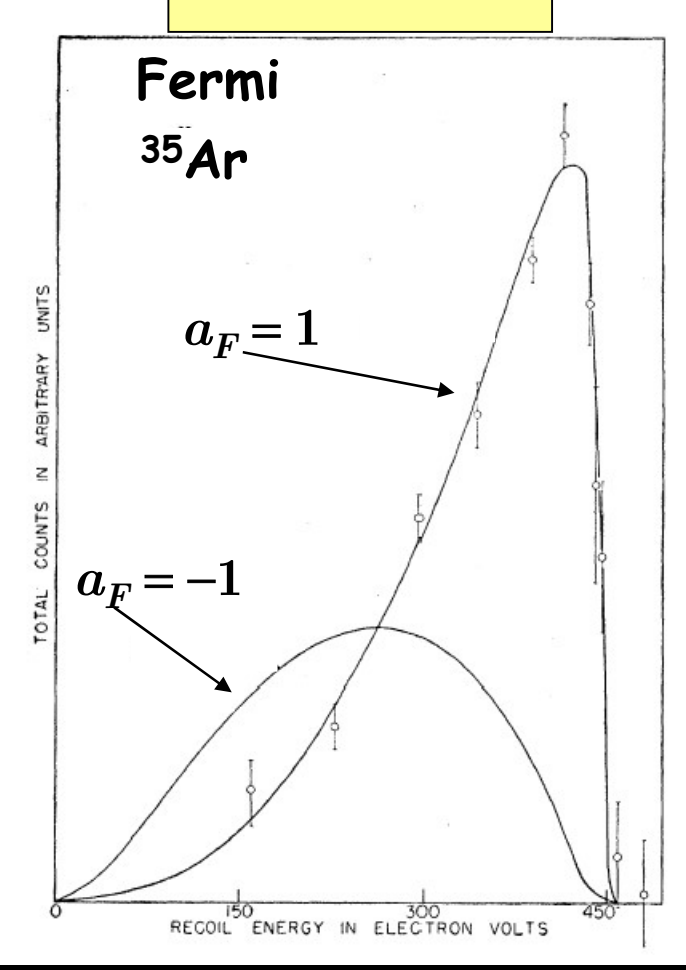
• Risultato per ⁶He

$$a_{GT}\,=-0.39\pm0.05$$



• Risultato per ³⁵Ar

$$a_F = 0.97 \pm 0.14$$



Riepilogo

- Consequenze dello studio dello spettro dell'energia dell'elettrone
 - Nelle transizioni di Fermi e Gamov-Teller sono assenti i termini di interferenza
 - Dato che C_S $C_V=0$ nelle transizioni di Fermi è attiva solo
 - O la componente Scalare
 - O la componente Vettoriale
 - Dato che $C_T \ C_A = 0$ nelle transizioni di Gamov-Teller è attiva solo
 - O la componente Tensoriale
 - O la componente Assiale
- Dalle informazioni precedenti e dallo studio dell'energia di rinculo del nucleo si ottengono informazioni sulla correlazione angolare $\beta_e - \beta_{
 u}$

$$a_F = \frac{C_V^2 - C_S^2}{C_S^2 + C_V^2} = 1$$

$$C_S = 0 \quad C_V \neq 0$$

• Interazioni di Fermi $a_F=\frac{C_V^2-C_S^2}{C_S^2+C_V^2}=1 \qquad \qquad C_S=0 \quad C_V\neq 0$ • Interazioni di Gamov-Teller $a_{GT}=-\frac{1}{3}\frac{C_A^2-4C_T^2}{C_A^2+4C_T^2}=-\frac{1}{3} \quad C_T=0 \quad C_A\neq 0$

$$a_{GT} = -\frac{1}{3} \frac{C_A^2 - 4C_T^2}{C_A^2 + 4C_T^2} = -\frac{1}{3}$$

$$C_T = 0 \quad C_A \neq 0$$

• Pertanto l'Hamiltoniana del decadimento $oldsymbol{eta}$ contiene solo i seguenti termini

Vettoriale γ^{μ}

Vettoriale Assiale $\gamma^5 \gamma^\mu$

La vita media

- Infine possiamo calcolare la vita media
 - Assumendo assenti i termini di interferenza ($\kappa=0$) abbiamo (Fermi)

$$d\Gamma_F = 4G^2 \frac{(C_S^2 + C_V^2)}{(2\pi)^3} p_e E_e E_\nu^2 dE_e$$

• Abbiamo inoltre visto che è presente solo il termine vettoriale $(\,C_S=0)$

$$d\Gamma_F = 4G^2 \frac{C_V^2}{(2\pi)^3} p_e E_e E_\nu^2 dE_e$$

• Analogamente nelle transizioni di Gamov-Teller è presente solo il termine assiale $(C_T=0)$ e pertanto risulta

$$d\Gamma_{GT} = 4G^2 \frac{3C_A^2}{(2\pi)^3} p_e E_e E_\nu^2 dE_e$$

• In un decadimento in cui sono presenti entrambi i termini abbiamo

$$d\Gamma = \frac{4}{(2\pi)^3} G^2 \left(C_V^2 + 3C_A^2 \right) p_e E_e E_\nu^2 dE_e$$

• Conviene riscrivere l'ultima equazione come

$$d\Gamma = \frac{4}{(2\pi)^3} G^2 C_V^2 \left(1 + 3 \frac{C_A^2}{C_V^2} \right) p_e E_e E_\nu^2 dE_e$$

La vita media

• La larghezza totale è data pertanto dall'integrale

$$\Gamma = \frac{4}{(2\pi)^3} G^2 C_V^2 \left(1 + 3 \frac{C_A^2}{C_V^2} \right) \int_{m_e}^{m_e + \Delta m} |\mathbf{k}| E_e E_\nu^2 dE_e$$

$$\left[\int_{m_e}^{m_e + \Delta m} \right] = M^5$$

$$\left[\int_{m_e}^{m_e+\Delta m} \;
ight] = M^5$$

- Notiamo le dimensioni dell'integrale
- In realtà per misure di precisione occorre tenere conto di effetti che per semplicità finora abbiamo trascurato
 - Elemento di matrice nucleare
 - Effetti del campo coulombiano
- Nell'elemento di matrice nucleare abbiamo assunto (semplificando)

$$|\langle \boldsymbol{\sigma} \rangle|^2 = |\langle \sigma_x \rangle|^2 + |\langle \sigma_y \rangle|^2 + |\langle \sigma_z \rangle|^2 = 3$$
 $|\langle 1 \rangle|^2 = 1$

Per tenere conto degli elementi di matrice nucleari si definisce (e si calcola)

$$\xi = |\langle 1 \rangle|^2 + \frac{C_A^2}{C_V^2} |\langle \boldsymbol{\sigma} \rangle|^2 \qquad G_\beta = GC_V \qquad \boxed{\Gamma = \frac{4}{(2\pi)^3} G_\beta^2 \xi \int_{m_e}^{m_e + \Delta m} |\mathbf{k}| E_e E_\nu^2 dE_e}$$

- ullet Ovviamente con la sola misura di Γ non $\dot{f e}$ possibile separare G e C_V
- Ritorneremo in seguito sul rapporto C_A/C_V

La vita media

- Per tenere conto dell'effetto del campo coulombiano che modifica le funzioni d'onda dell'elettrone (abbiamo usato le funzioni d'onda di particelle libere) si introduce la funzione di Fermi $F(Z,E_{\it e})$
 - La funzione $F(Z,E_e)$ moltiplica l'integrando
 - Si definisce

$$f = \int_{m_e}^{m_e + \Delta m} \mathbf{F}(\mathbf{Z}, \mathbf{E}_e) p_e E_e (\Delta m - E_e)^2 dE_e$$

Abbiamo in definitiva

$$\Gamma = \frac{1}{\tau} = \frac{G_{\beta}^2}{2\pi^3} \xi f$$

• Sperimentalmente si studia

$$f au = rac{2\pi^3}{G_{\beta}^2 \xi} \to ft_{1/2} = rac{2\pi^3 \ln 2}{G_{\beta}^2 \xi}$$

- Misurando la vita media di un decadimento di un nucleo e calcolato il valore di ξ per quel nucleo si ottiene G_{β}
 - ullet Il valore di G_eta misurato e mediato su tanti decadimenti è

$$G_{\beta} = 1.13578 \pm 0.00027 \times 10^{-5} \,\mathrm{GeV^{-2}}$$

Il gruppo di Lorentz

- La richiesta che le leggi fisiche siano le stesse in tutti i sistemi inerziali implica che le grandezze fisiche abbiano ben precise leggi di trasformazione rispetto alle trasformazioni di Lorentz
 - In particolare i 4-vettori
 - Ad esempio il 4-vettore energia-impulso p^{μ}
 - I 4-vettori hanno un modulo invariante per trasformazioni $m^2=g_{\mu
 u}p^\mu p^
 u$
- Matematicamente le trasformazioni di Lorentz possono essere definite come le trasformazioni che lasciano invariata la forma quadratica $g_{\mu\nu}x^\mu y^\nu$
 - Abbiamo visto che la condizione necessaria e sufficiente perché ciò accada è che la matrice Λ che rappresenta la trasformazione abbia la proprietà

$$g_{\mu\nu}\Lambda^{\mu}{}_{\alpha}\Lambda^{\nu}{}_{\beta} = g_{\alpha\beta}$$

$$\Lambda^{T}G\Lambda = G$$

- Può essere scritta in modo equivalente come $\Lambda_{\mu}{}^{\alpha}\Lambda^{\mu}{}_{\beta} = \delta_{\beta}{}^{\alpha}$
- Questo significa anche la matrice inversa Λ^{-1} è data da $(\Lambda^{-1})_{\mu}{}^{
 u}=\Lambda^{
 u}{}_{\mu}$
 - Si tratta di una trasposizione e di cambi di segno (elementi $\Lambda^0{}_i$ e $\Lambda^i{}_0$)
- ullet Le matrici Λ che soddisfano le condizioni enunciate formano un gruppo

Il Gruppo di Lorentz

Il gruppo di Lorentz

- Ricordiamo le proprietà di un gruppo
 - Chiusura: se Λ_1 e Λ_2 appartengono al gruppo anche $\Lambda_1\,\Lambda_2$ appartiene ad esso

$$(\Lambda_1 \Lambda_2)^T G(\Lambda_1 \Lambda_2) = \Lambda_2^T \Lambda_1^T G \Lambda_1 \Lambda_2 = \Lambda_2^T G \Lambda_2 = G$$

- Associatività: $\Lambda_1\,\Lambda_1\,\Lambda_3=(\Lambda_1\,\Lambda_2)\,\Lambda_3=\Lambda_1(\Lambda_2\,\Lambda_3)$
 - Il prodotto di matrici è associativo
- Identità: la matrice identità appartiene al gruppo
 - La matrice I appartiene evidentemente al gruppo: $I^TGI = G$
- Inversa:ogni elemento Λ ha un'inverso Λ^{-1} appartenente al gruppo e $\Lambda^{-1}\Lambda = I$
 - Abbiamo visto che $\Lambda^T G \Lambda = G$ mostra come scrivere l'inversa $(\Lambda^{-1})_\mu{}^
 u = \Lambda^
 u{}_\mu$
- Più formalmente
 - Dimostriamo che Λ ha determinante non nullo

$$\det[\Lambda^T G \Lambda] = \det[G] \qquad \det[\Lambda^T] \det[G] \det[\Lambda] = \det[G] \qquad (\det[\Lambda])^2 = 1$$

- Quindi Λ ha un'inversa Λ^{-1}
- ullet Dimostriamo che Λ^{-1} appartiene al gruppo

$$\Lambda^{T}G\Lambda = G \qquad \left(\Lambda^{-1}\right)^{T} \Lambda^{T}G\Lambda\Lambda^{-1} = \left(\Lambda^{-1}\right)^{T} G\Lambda^{-1} \qquad \left(\Lambda\Lambda^{-1}\right)^{T} GI = \left(\Lambda^{-1}\right)^{T} G\Lambda^{-1}$$

$$\left(\Lambda^{-1}\right)^{T} G\Lambda^{-1} = G$$

Il gruppo di Lorentz

- Il gruppo definito in modo astratto nella diapositiva precedente contiene molto di più che le semplici trasformazioni di Lorentz (boost)
 - Ovviamente contiene le rotazioni
 - ullet Contiene gli operatori di inversione temporale ${\mathbb T}$ e inversione spaziale ${\mathbb P}$

$$\mathbb{T}^{\mu}_{\ \nu} = \begin{pmatrix} -1 & 0 & 0 & 0 \\ 0 & 1 & 0 & 0 \\ 0 & 0 & 1 & 0 \\ 0 & 0 & 0 & 1 \end{pmatrix} \qquad \mathbb{P}^{\mu}_{\ \nu} = \begin{pmatrix} 1 & 0 & 0 & 0 \\ 0 & -1 & 0 & 0 \\ 0 & 0 & -1 & 0 \\ 0 & 0 & 0 & -1 \end{pmatrix}$$

- Gli operatori \mathbb{T} e \mathbb{P} sono di natura diversa rispetto alle trasformazioni di Lorentz fin qui studiate
 - Non si possono costruire a partire dall'identità come somma di operazioni infinitesime
 - Non possono essere "connesse" con continuità all'identità
 - Sono trasformazioni discrete
- Una qualsiasi trasformazione del gruppo di Lorentz può essere costruita combinando
 - Boost, Rotazioni, Inversioni T, Inversioni P

Classificazione del gruppo di Lorentz

- Esaminiamo in maggiore dettaglio la struttura del gruppo di Lorentz
- Una prima classificazione viene fatta sulla base del segno del determinante
 - Abbiamo visto che $(\det[\Lambda])^2 = 1$ $\det[\Lambda] = \pm 1$
- Si definiscono i due seguenti tipi di trasformazioni
 - Se $\det[\Lambda] = +1 o \mathsf{Trasformazioni}$ di Lorentz proprie
 - ullet Se $\det[\Lambda] = -1 o \mathsf{Trasformazioni}$ di Lorentz improprie
- Notiamo che il prodotto di due trasformazioni proprie è ancora una trasformazione propria
 - Questa proprietà non vale per le trasformazioni improprie
- ullet La seconda classificazione viene fatta sulla base del segno dell'elemento $\Lambda^0_{\ 0}$
 - Specializziamo la relazione $\Lambda^T G \Lambda = G$ all'indice 00 di G

$$g_{\mu\nu}\Lambda^{\mu}{}_{\alpha}\Lambda^{\nu}{}_{\beta} = g_{\alpha\beta} \longrightarrow g_{\mu\nu}\Lambda^{\mu}{}_{0}\Lambda^{\nu}{}_{0} = g_{00} = 1 \qquad 1 = \Lambda^{0}{}_{0}\Lambda^{0}{}_{0} - \sum_{i} \Lambda^{i}{}_{0}\Lambda^{i}{}_{0}$$

$$1 = \Lambda^{0}_{0}\Lambda^{0}_{0} - \sum_{i} \Lambda^{i}_{0}\Lambda^{i}_{0}$$

$$\Lambda^{0}_{0}\Lambda^{0}_{0} = 1 + \sum_{i} (\Lambda^{i}_{0})^{2} \qquad (\Lambda^{0}_{0})^{2} \ge 1 \qquad \qquad \boxed{\Lambda^{0}_{0} \ge +1}$$

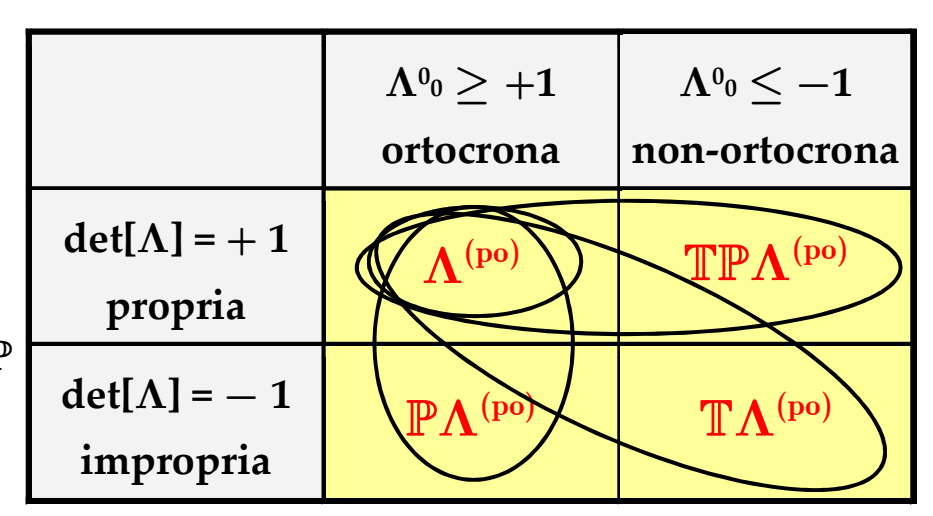
$$\left(\Lambda^0_{0}\right)^2 \ge 1$$

$$\Lambda^0_{\ 0} \le -1$$

- Si definiscono i due seguenti tipi di trasformazioni
 - ullet Se $\Lambda^0_{\ 0} \geq +1 \ o$ Trasformazioni di Lorentz ortocrone
 - Se $\Lambda^0_{\ 0} \leq -1 \ \to$ Trasformazioni di Lorentz non-ortocrone

Classificazione del gruppo di Lorentz

- Le trasformazioni del gruppo di Lorentz sono pertanto classificate
 - Per il segno del determinante
 - Per il segno del termine $\Lambda^0_{\ 0}$
- Nella tabella
 - ullet $\Lambda^{(\mathrm{po})}
 ightarrow \mathsf{trasformazione}$ propria e ortocrona
- Le trasformazioni delle altre classi si ottengono combinando $\Lambda^{(\mathrm{po})}$, \mathbb{T} e \mathbb{P} È facile verificare che
 - ullet I è propria e ortocrona
 - P è impropria e ortocrona
 - \mathbb{T} è impropria e non ortocrona
 - ullet Le trasformazioni $\Lambda^{(\mathrm{po})}$ sono un sottogruppo
 - Le trasformazioni proprie sono un sottogruppo
 - Le trasformazioni ortocrone sono un sottogruppo
 - L'insieme delle trasformazioni proprie ortocrone e delle trasformazioni improprie e non-ortocrone sono un sottogruppo $[\widehat{L}_i,\widehat{K}_k]=arepsilon_{ikl}\widehat{K}_l$
- NB: I boost non sono un sottogruppo
 - Due boost in direzioni diverse sono equivalenti ad un boost più una rotazione



Generatori ...

$$\left[\left[\widehat{K}_{j},\widehat{K}_{k}
ight]=-arepsilon_{jkl}\widehat{L}_{l}
ight]$$

$$\left[\widehat{L}_{j},\widehat{L}_{k}\right]=arepsilon_{jkl}\widehat{L}_{l}$$

$$\left[\,\widehat{L}_{j},\widehat{K}_{k}\,\right]=\,\varepsilon_{jkl}\widehat{K}_{l}$$

Inversione degli spinori

- In precedenza abbiamo visto come costruire le trasformazioni di Lorentz per uno spinore
 - Erano trasformazioni associate a trasformazioni proprie e ortocrone
 - Costruite come somma di trasformazioni infinitesime a partire dall'identità
- Ricordiamo la condizione di invarianza della equazione di Dirac
 - La trasformazione $S(\Lambda)$ e le matrici γ avevano la seguente proprietà

$$S^{-1}\left(\Lambda\right)\gamma^{\mu}S\left(\Lambda\right) = \Lambda^{\mu}_{\ \nu}\gamma^{\nu}$$

 $S^{-1}(\Lambda)\gamma^{\mu}S(\Lambda) = \Lambda^{\mu}{}_{\nu}\gamma^{\nu}$ • Vogliamo adesso trovare la trasformazione $S_P \equiv S(\mathbb{P})$ $\Lambda^{\mu}{}_{\nu} = \mathbb{P}^{\mu}{}_{\nu} = \begin{bmatrix} 1 & 0 & 0 & 0 \\ 0 & -1 & 0 & 0 \\ 0 & 0 & -1 & 0 \\ 0 & 0 & 0 & -1 \end{bmatrix}$

• Scriviamo per esteso le condizioni sulle matrici γ per l'invarianza

$$S_P^{-1} \gamma^0 S_P = \mathbb{P}^0_{\ \nu} \gamma^{\nu} \qquad S_P^{-1} \gamma^0 S_P = \gamma^0$$

$$S_P^{-1} \gamma^i S_P = \mathbb{P}^i_{\ \nu} \gamma^{\nu} \qquad \qquad S_P^{-1} \gamma^i S_P = -\gamma^i$$

• Un operatore con le proprietà di $m{S_P}$ si trova definendo

$$S_P = \eta \gamma^0$$

• Infine richiediamo
$$\overline{S_P}S_P=I$$
 $\overline{\eta\gamma^0}\eta\gamma^0=\eta^*\eta\gamma^0\gamma^0=|\eta|^2I$ $|\eta|^2=1$

Trasformazione dei covarianti bilineari

• Nel calcolo dell'elemento di matrice dell'interazione di Fermi generalizzata abbiamo trovato le seguenti quantità (bilineari covarianti)

$$f = \overline{u}\Gamma_X u$$

- ullet Per ogni matrice Γ la quantità f è un numero
- Le matrici Γ_X possono avere indici
 - Ad esempio γ^μ , nel qual caso anche f ha gli stessi indici $f^\mu = \overline{u} \gamma^\mu u$
- Le matrici $\Gamma_{\rm i}$ sono combinazioni di matrici γ che inducono ben precise proprietà di trasformazione di Lorentz per le quantità f

| $ullet$ Γ_S | = | 1 | Scalare | $f = \overline{u}u$ |
|----------------------|---|--|-----------------|--|
| $ullet$ Γ_V | = | γ^{μ} | Vettore | $f^{\mu} = \overline{u}\gamma^{\mu}u$ |
| $ullet$ Γ_A | = | $\gamma^5 \gamma^\mu$ | Vettore Assiale | $f^{\mu} = \overline{u}\gamma^5\gamma^{\mu}u$ |
| $ullet$ Γ_T | = | $\sigma^{\mu u}=i/2\left[\gamma^{\mu},\!\gamma^{ u} ight]$ | Tensore | $f^{\mu\nu} = \overline{u}\gamma^{\mu}\gamma^{\nu}u$ |
| \bullet Γ_P | = | γ^5 | Pseudoscalare | $f = \overline{u}\gamma^5 u$ |

- ullet Verifichiamo adesso le proprietà di trasformazione delle grandezze f
 - Per trasformazioni di Lorentz proprie e ortocrone $S(\Lambda)$
 - Per inversione spaziale $S_{\mathcal{P}}$

Trasformazione dei covarianti bilineari

- Matrice scalare $\Gamma_S = I$
 - Trasformazione di Lorentz

$$f' = \overline{u}' \Gamma_S u' = \overline{Su} \Gamma_S Su = \overline{u} \overline{S} Su = \overline{u}u = f$$

$$\overline{S}S = S^{-1}S = I$$

Inversione spaziale

$$f' = \overline{S_P u} \Gamma_S S_P u = \overline{u} \overline{\gamma^0} \gamma^0 u = \overline{u} u = f$$

- Matrice vettoriale $\Gamma_{V}=\gamma^{\mu}$
 - Trasformazione di Lorentz

$$f'^{\mu} = \overline{Su} \Gamma_{V} Su = \overline{u} \overline{S} \gamma^{\mu} Su = \overline{u} S^{-1} \gamma^{\mu} Su = \overline{u} \Lambda^{\mu}_{\ \nu} \gamma^{\nu} u = \Lambda^{\mu}_{\ \nu} \overline{u} \gamma^{\nu} u = \Lambda^{\mu}_{\ \nu} T^{\nu}$$

Inversione spaziale

Inversione spaziale
$$f'^{\mu} = \overline{S_P u} \Gamma_V S_P u = \overline{u} \gamma^0 \gamma^{\mu} \gamma^0 u \quad = \begin{cases} +\overline{u} \gamma^0 u & \mu = 0 \\ -\overline{u} \gamma^i u & \mu = 1, 3 \end{cases}$$
 Vettore polare Vettor

 $S^{-1}(\Lambda) \gamma^{\mu} S(\Lambda) = \Lambda^{\mu}_{\ \nu} \gamma^{\nu}$

Vettore assiale

$$f'^{\mu} = \overline{Su} \Gamma_A Su = \overline{u} \overline{S} \gamma^5 \gamma^{\mu} Su = \overline{u} \gamma^5 S^{-1} \gamma^{\mu} Su = \Lambda^{\mu}_{\ \nu} \overline{u} \gamma^5 \gamma^{\nu} u = \Lambda^{\mu}_{\ \nu} f^{\nu}$$

Inversione spaziale

$$f'^{\mu} = \overline{S_P u} \Gamma_A S_P u = \overline{u} \gamma^0 \gamma^5 \gamma^{\mu} \gamma^0 u = -\overline{u} \gamma^5 \gamma^0 \gamma^{\mu} \gamma^0 u = \begin{cases} -\overline{u} \gamma^0 u & \mu = 0 \\ +\overline{u} \gamma^i u & \mu = 1, 3 \end{cases}$$

Trasformazione dei covarianti bilineari

- Matrice tensoriale $\Gamma_T = \gamma^\mu \gamma^\nu \ , \ \mu \neq \nu$
 - Trasformazione di Lorentz

$$f'^{\mu\nu} = \overline{Su}\Gamma_T Su = \overline{u}S^{-1}\gamma^{\mu}\gamma^{\nu}Su = \overline{u}S^{-1}\gamma^{\mu}SS^{-1}\gamma^{\nu}Su = \overline{u}\Lambda^{\mu}_{\alpha}\gamma^{\alpha}\Lambda^{\nu}_{\beta}\gamma^{\beta}u$$
$$= \Lambda^{\mu}_{\alpha}\Lambda^{\nu}_{\beta}\overline{u}\gamma^{\alpha}\gamma^{\beta}u = \Lambda^{\mu}_{\alpha}\Lambda^{\nu}_{\beta}f^{\alpha\beta}$$

Inversione spaziale

$$f'^{\mu\nu} = \overline{S_P u} \dot{\Gamma}_T S_P u = \overline{u} \gamma^0 \gamma^\mu \gamma^\nu \gamma^0 u$$

$$= \begin{cases} +f^{\mu\nu} & \mu, \nu = 1, 2, 3\\ -f^{\mu\nu} & \mu = 0, \nu = 1, 2, 3 \end{cases}$$

• Se
$$i,j=1,2,3$$

• Se
$$i,j=1,2,3$$
 $\gamma^i\gamma^j \to \gamma^0\gamma^i\gamma^j\gamma^0 = \gamma^0\gamma^0\gamma^i\gamma^j = \gamma^i\gamma^j$

• Se
$$\mu=0,\ i=1,2,3$$
 $\gamma^0\gamma^j\to\gamma^0\gamma^0\gamma^j\gamma^0=\gamma^j\gamma^0=-\gamma^0\gamma^j$ Analogamente per $\gamma^j\gamma^0$

• Matrice pseudo-scalare
$$\Gamma_P=\gamma^5$$
 • Trasformazione di Lorentz
$$\gamma^\mu\gamma^\nu\gamma^5=\gamma^5\gamma^\mu\gamma^\nu\to S\gamma^5=\gamma^5S$$

$$f' = \overline{Su}\Gamma_P Su = \overline{u}S^{-1}\gamma^5 Su = \overline{u}\gamma^5 S^{-1}Su = \overline{u}\gamma^5 u = f$$

Inversione spaziale

$$f' = \overline{S_P u} \Gamma_P S_P u = \overline{u} \gamma^0 \gamma^5 \gamma^0 u = -\overline{u} \gamma^5 \gamma^0 \gamma^0 u = -\overline{u} \gamma^5 u = -f$$

Inversione spaziale

- Vediamo adesso come si formalizza l'effetto dell'inversione spaziale nella teoria quantistica dei campi
- Lo stato di un sistema descritto da un vettore dello spazio di Fock
 - Ad esempio, una particella libera

$$|\mathbf{p}\rangle = \hat{a}_{\mathbf{p}}^{\dagger} |0\rangle$$

• Le classificazione delle particelle è fatta in base alle proprietà di trasformazione delle loro funzioni d'onda quando soggette a rotazioni

Scalari o pseudoscalari spin 0

• Spinori spin $\frac{1}{2}$

Vettori o pseudovettori spin 1

• Tensori spin 2

- Nella Teoria Quantistica dei Campi queste proprietà si riflettono sulle proprietà di trasformazione degli operatori di creazione
- Facciamo solo l'esempio dell'inversione spaziale delle particelle di spin O
 - Concentriamoci su due possibili comportamenti

Scalare

$$|\mathbf{p}\rangle \rightarrow +|-\mathbf{p}\rangle$$

Pseudoscalare

$$|\mathbf{p}\rangle \rightarrow -|\mathbf{p}\rangle$$

Queste relazioni sono vere anche nel Sistema di Riposo

Inversione spaziale

Con notazione unificata

$$\mathbb{P}\ket{\mathbf{p}}
ightarrow \xi_{\mathbb{P}}\ket{-\mathbf{p}}$$

- ullet ${\mathbb P}$ è l'operatore di inversione e ${m \xi}_{{\mathbb P}}$ è la parità intrinseca della particella
- Deduciamo adesso l'effetto dell'operatore $\mathbb P$ sugli operatori a e a^\dagger a partire dalle proprietà di trasformazione di uno stato di una particella

$$\mathbb{P}|\mathbf{p}\rangle = \mathbb{P}\hat{a}_{\mathbf{p}}^{\dagger}|0\rangle \qquad \qquad \mathbb{P}|\mathbf{p}\rangle = \mathbb{P}\hat{a}_{\mathbf{p}}^{\dagger}\mathbb{P}^{-1}\mathbb{P}|0\rangle$$

Assumiamo

$$\mathbb{P}|0\rangle = |0\rangle$$

• Otteniamo pertanto $\mathbb{P}|\mathbf{p}\rangle = \mathbb{P}\widehat{a}_{\mathbf{p}}^{\dagger}\mathbb{P}^{-1}|0\rangle$

$$\mathbb{P}|\mathbf{p}\rangle = \mathbb{P}\widehat{a}_{\mathbf{p}}^{\dagger}\mathbb{P}^{-1}|0\rangle$$

Confrontando con la definizione di P

$$\mathbb{P}|\mathbf{p}\rangle = \xi_{\mathbb{P}}|-\mathbf{p}\rangle = \xi_{\mathbb{P}}\hat{a}_{-\mathbf{p}}^{\dagger}|0\rangle$$

• Dal confronto concludiamo

$$\widehat{\mathbb{P}}\widehat{a}_{\mathbf{p}}^{\dagger}\mathbb{P}^{-1} = \xi_{\mathbb{P}}\widehat{a}_{-\mathbf{p}}^{\dagger}$$

• Inoltre, considerando l'aggiunto hermitiano di questa equazione (assumiamo $\xi^* = \xi$)

$$\mathbb{P}\widehat{a}_{\mathbf{p}}\mathbb{P}^{-1} = \xi_{\mathbb{P}}\widehat{a}_{-\mathbf{p}}$$

Utilizzando queste relazioni si dimostra facilmente che

$$\mathbb{P}\widehat{\phi}\left(\mathbf{r},t\right)\mathbb{P}^{-1} = \xi_{\mathbb{P}}\frac{1}{\left(2\pi\right)^{3}}\int\frac{d^{3}\mathbf{k}}{\sqrt{2E_{\mathbf{k}}}}\left(\widehat{a}_{\mathbf{k}}e^{-i(E_{\mathbf{k}}t-\mathbf{k}\cdot(\mathbf{-r}))} + \widehat{a}_{\mathbf{k}}^{\dagger}e^{i(E_{\mathbf{k}}t-\mathbf{k}\cdot(\mathbf{-r}))}\right) = \xi_{\mathbb{P}}\widehat{\phi}\left(\mathbf{-r},t\right)$$

Inversione del campo scalare

 Calcoliamo adesso il risultato dell'operatore di inversione sul campo scalare reale

$$\mathbb{P}\widehat{\phi}(\mathbf{r},t)\mathbb{P}^{-1} = \mathbb{P}\frac{1}{(2\pi)^{3}}\int \frac{d^{3}\mathbf{k}}{\sqrt{2E_{\mathbf{k}}}} \left(\widehat{a}_{\mathbf{k}}e^{-ik\cdot x} + \widehat{a}_{\mathbf{k}}^{\dagger}e^{ik\cdot x}\right)\Big|_{k_{o}=E_{\mathbf{k}}}\mathbb{P}^{-1}$$

$$= \frac{1}{(2\pi)^{3}}\int \frac{d^{3}\mathbf{k}}{\sqrt{2E_{\mathbf{k}}}} \left(\mathbb{P}\widehat{a}_{\mathbf{k}}\mathbb{P}^{-1}e^{-ik\cdot x} + \mathbb{P}\widehat{a}_{\mathbf{k}}^{\dagger}\mathbb{P}^{-1}e^{ik\cdot x}\right)$$

$$= \frac{1}{(2\pi)^{3}}\int \frac{d^{3}\mathbf{k}}{\sqrt{2E_{\mathbf{k}}}} \left(\xi_{\mathbb{P}}\widehat{a}_{-\mathbf{k}}e^{-ik\cdot x} + \xi_{\mathbb{P}}\widehat{a}_{-\mathbf{k}}^{\dagger}e^{ik\cdot x}\right)$$

$$= \xi_{\mathbb{P}}\frac{1}{(2\pi)^{3}}\int \frac{d^{3}\mathbf{k}}{\sqrt{2E_{\mathbf{k}}}} \left(\widehat{a}_{-\mathbf{k}}e^{-i(E_{\mathbf{k}}t - \mathbf{k} \cdot \mathbf{r})} + \widehat{a}_{-\mathbf{k}}^{\dagger}e^{i(E_{\mathbf{k}}t - \mathbf{k} \cdot \mathbf{r})}\right)$$

• Cambiamo la variabile di integrazione $\mathbf{k} \to -\mathbf{k}$ $\int_{-\infty}^{+\infty} dk_i = -\int_{+\infty}^{-\infty} dk_i = \int_{-\infty}^{+\infty} dk_i$ $E_{\mathbf{k}}t - \mathbf{k} \cdot \mathbf{r} \to E_{\mathbf{k}}t + \mathbf{k} \cdot \mathbf{r} = E_{\mathbf{k}}t - \mathbf{k} \cdot (-\mathbf{r})$

$$\mathbb{P}\widehat{\phi}\left(\mathbf{r},t\right)\mathbb{P}^{-1} = \xi_{\mathbb{P}}\frac{1}{\left(2\pi\right)^{3}}\int \frac{d^{3}\mathbf{k}}{\sqrt{2E_{\mathbf{k}}}}\left(\widehat{a}_{\mathbf{k}}e^{-i(E_{\mathbf{k}}t-\mathbf{k}\cdot(-\mathbf{r}))} + \widehat{a}_{\mathbf{k}}^{\dagger}e^{i(E_{\mathbf{k}}t-\mathbf{k}\cdot(-\mathbf{r}))}\right) = \xi_{\mathbb{P}}\widehat{\phi}\left(-\mathbf{r},t\right)$$